## 面向隧道仰拱的声波全波形反演

何云川1,黄金强2

(1. 贵州大学国土资源部喀斯特环境与地质灾害重点实验室,贵州贵阳 550025; 2. 贵州大学资源与环境工程学院,贵州贵阳 550025)

摘 要:作为当前勘探领域精度最高的速度建模方法,全波形反演在隧道质检方面具有很好的应用前景。仰拱在隧道施 工过程中比较容易出现质量问题且难以准确检测,本文基于声波方程,采用多尺度反演策略,在时间域实现了一种针对 小尺度隧道仰拱的反演检测方法,通过模型测试验证了方法的正确性与有效性,为仰拱结构的施工质量检测提供了新思

关键词:全波形反演:隧道仰拱:多尺度:时间域:质量检测

中图分类号: U456 文章编号: 1006-7973 (2022) 10-0156-03 文献标识码: A

仰拱的施工质量在一定程度上决定着隧道的运行 安全,因此,实现对仰拱质量的准确检测是保证隧道正 常运行的重要环节[1]。

当前一些主流的检测方法在仰拱检测中面临诸多 困境,如:地质雷达法受钢筋网限制,在下覆介质中几 乎失效;钻芯法对仰拱本身有一定的破坏且为"一孔之 见",难窥全貌;常规地震处理方法分辨率有限<sup>[3]</sup>。起 源于油气领域的全波形反演方法(FWI, Full Waveform Inversion)可充分利用采集数据的振幅与波形信息,相 比于传统地震波法,其结果具有更高的反演分辨率[2]。

本文将该方法应用于仰拱结构的施工质量检测中, 发展了一种新型的无损检测手段,有望为工程质量检测 提供更精确的检测结果。

#### 1 方法原理

全波形反演是通过求解最优化问题得到最佳的地 下介质参数模型[4-5],即根据合成数据与观测数据的2 范数建立如下目标函数:

$$E^{WD}(m) = \frac{1}{2} \sum_{i}^{ns} \sum_{j}^{nr} \left[ s_{i,j} - g_{i,j} \right]^{2}$$
 (1)

其中, m 为模型参数, ns 与 nr 分别表示激发源炮 数与检波器个数,i为炮号,i为对应的检波点编号,s 为模拟数据, g 为观测波数据。上述问题通常有梯度类 和牛顿类两种算法,本文采用预处理共轭梯度法 [6]。在 该算法中模型更新公式可表示为:

$$m_{k+1} = m_k + \alpha_k d_k \tag{2}$$

其中, m 为模型参数, k 为迭代次数; a<sub>k</sub> 表示迭代 步长, d, 表示第 k 次迭代的梯度, 其公式为:

$$d_k = -P_k g_k + \beta_k d_{k-1} \tag{3}$$

g. 为最速下降方向,由伴随波场与震源波场的互相 关求取, pt 为预条件算子, 通常取照明补偿或高斯平滑 算子, $\beta_{\iota}$ 由 P-R 公式得到 [7]:

$$\beta_{k} = \frac{g_{k}^{T} \left( P_{k} g_{k} - P_{k-1} g_{k-1} \right)}{g_{k-1}^{T} P_{k-1} g_{k-1}}$$
(4)

基于2范数的伴随源 fii 通常由观测记录与合成记 录的差得到,再将伴随源反传可得伴随波场:

$$f_{i,j}^* = s_{i,j} - g_{i,j} \tag{5}$$

由于 FWI 对初始模型依赖性较高,为避免反演陷 入局部极小, 本文采用频率多尺度策略, 通过带通滤波 器逐级反演,将低频带反演结果作为高频反演的初始模 型,可有效缓解周期跳跃的影响[8]。

### 2 复杂模型试算

为检验算法的正确性,本文依据砼等级和典型的隧 道仰拱施工方案,设计了一个隧道仰拱波速模型如图1 (a) 所示, 图中可见: 该模型由三层不同等级的混凝土、 底层的低速岩土、两层钢筋网和等间距分布的工字钢组 成,不同的地质体主要表现为波速存在较大差异。该模 型沿隧道方向的大小为 10m, 竖直方向为 3m, 为了进 行数值计算与反演,将该模型离散为500×150个矩形 网格单元,纵横向网格间距都为 0.02m,模型的最大、 最小速分别是 5900m/s、2500m/s, 在高频地震波正演模 拟中,采样时间取 4.5ms,采样点数为 4501 个,采样步 长为 0.001us, 震源子波采用 15000Hz 的雷克子波, 经 计算,上述参数满足频散条件与稳定性条件。本算例共 激发 51 炮, 激发深度 0m, 起始炮点 0m, 炮间距 0.2m, 每炮共251 道接收,检波器间距0.04m,起始位置0m。

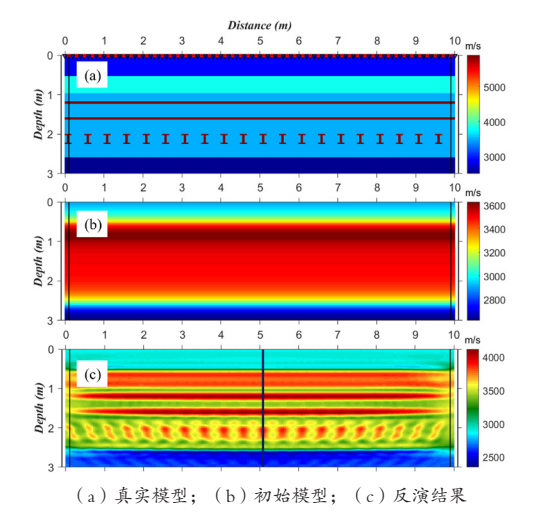


图 1 正常的隧道仰拱模型

基于上述观测系统和计算参数,选择如图1(b) 所示的初始模型,采用多尺度全波形反演方法,得到如 图 1 (c) 所示的反演结果,观察可见: 初始模型仅仅 反映了三层结构, 无法得知钢筋网与工字钢位置与形态 以及混凝土等级, 在实际数据处理中, 可根据仰拱的设 计方案进行估算; 而经过波形反演之后, 四层不同波速 的介质结构清晰可见,钢筋网和工字钢的位置与形态都 得到呈现, 但分辨率有限, 在反演结果中有放大趋势, 此外, 受观测系统的影响, 模型两侧的工字钢有倾斜效 应,但总体而言,各个异常体与分界面都能够清楚地辨 识。

为了进一步分析与展示上述方法的正确性,图2(a) 给出了正常仰拱模型第25炮激发的合成地震记录,图 中可见:由于模型的对称性,地震记录也存在一定对称 性,在图中可观测到来自四个反射界面的反射波,同时 还可看到来自钢筋绕射体的绕射波。图 2 (b) 抽取了 第254道(如图1(c)中黑色位置所示)的波速进行对比, 图中蓝色为真实结果,绿线为初始结果,而红线为反演 结果,对比可见:反演结果与真实模型在波速变化上趋 于一致,波速明显变大的位置即为钢筋所在位置。

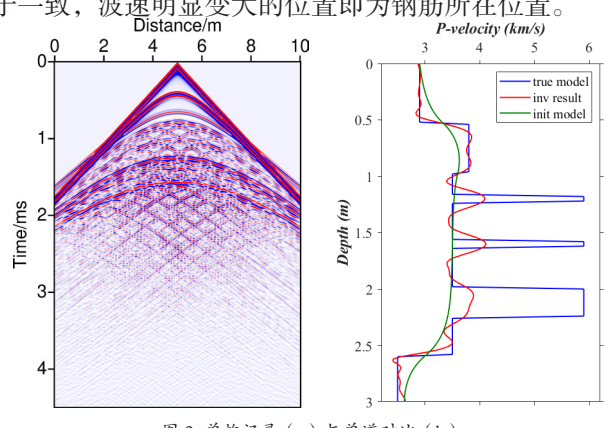


图 2 单炮记录 (a) 与单道对比 (b)

工字钢的间距与工字钢是否缺失是隧道仰拱施工 质量检测的重要内容之一。图 3(a)给出了工字钢存 在缺失时的仰拱模型,从左往右依次缺失一根、两根、 三根和四根工字钢,图3(b)为初始模型,图3(c) 为反演结果,图中可见:即使在初始模型非常不准确的 情况下, 反演结果中依然清晰准确地还原了工字钢缺失 的位置, 检测结果可靠。

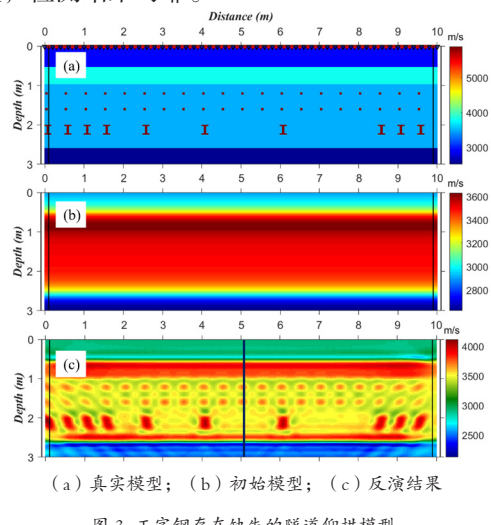


图 3 工字钢存在缺失的隧道仰拱模型

图 4 (a) 为第 25 炮激发的正演记录, 与图 2 (a) 对比可见: 由于模型的不对称性, 导致绕射波存在明显 的不对称性,如黑色箭头所指。图 4(b)为第 254 道 波速结果对比,图中可见:在深度为2~2.5m处,没有 明显的波速变化,指示此处工字钢存在缺失,达到了检 测的目的。

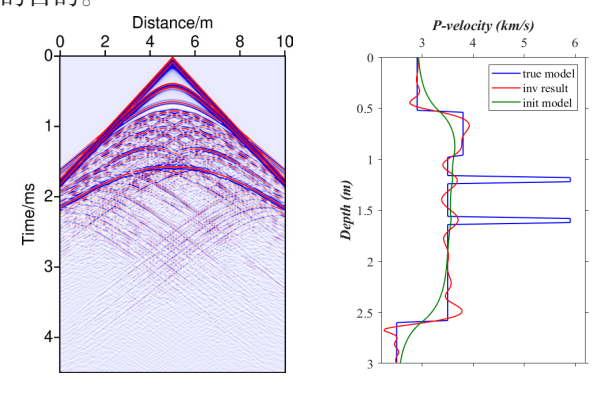


图 4 单炮记录 (a) 与单道对比 (b)

### 3 结论

针对仰拱施工过程中存在的工字钢缺失等问题,本 文提出了一种高频地震波全波形反演检测方法。通过典 型模型试算表明本文方法具有良好的适应性与优势,不 存在检测盲区, 弥补了地质雷达法在钢筋网下覆介质中 的不足,结合微损检测方法的直观性,该方法可实现对

# 面向隧道仰拱的高频地震波逆时偏移成像

杨礼胜, 黄金强

(贵州大学资源与环境工程学院,贵州贵阳 550025)

摘 要: 仰拱作为隧道结构的主要组成部分之一, 其施工质量关系着隧道的运行安全, 因此开展隧道仰拱施工质量检测 至关重要。逆时偏移是当前油气勘探领域最前沿的一种成像方法,本文通过频率拓展处理及 GPU 并行优化,将该方法 推广至隧道仰拱质量检测中。通过开展两个典型仰拱模型的逆时偏移试算,其结果表明: 拓展至高频后的逆时偏移方法 能够实现对仰拱内部结构的准确成像,达到准确、快速、无损检测的目的。

关键词: 隧道仰拱; 施工质量检测; 逆时偏移; 频率拓展; 无损检测

中图分类号: U456 文献标识码: A 文章编号: 1006-7973 (2022) 10-0158-03

### 1 引言

仰拱主要用于改善隧道上部支护结构的受力条件, 仰拱的施工质量不达标会在隧道运营过程中产生很大的 安全隐患,因此,开展隧道仰拱质量检测是确保隧道安 全的重要内容之一[1]。

当前隧道仰拱的检测方法主要有无损的地质雷达 法、瞬态面波法以及微损的钻孔法。钻孔法具有一定的 破坏性,已逐渐被仰拱检测行业淘汰; 瞬态面波法精度 不足,经常出现遗漏和误判,需结合钻孔法进行综合判 定[2]; 地质雷达法精度高、检测速度快, 成为目前仰拱 检测的主流技术, 但也存在一个固有缺陷, 即由于钢筋 网对电磁波的吸收衰减严重,导致钢筋网下覆介质中病 害问题难以检测,如:工字钢缺失或间距过大等问题[3]。

在地球物理领域,随着物探技术与计算机技术的目 益发展, 出现了很多新兴的无损检测理论与方法, 如逆

时偏移,该方法在油气勘探、工程物探、人脑检测中都 展现出巨大的潜力,是地震勘探领域最具潜力的成像技 术之一[4]。本文提出将该方法进行频率拓展,以适应小 尺度仰拱检测,同时,考虑到计算成本,采用了GPU 并行加速策略。最后,通过对两个典型的仰拱模型进行 逆时偏移成像试算,验证了本方法的可行性及有效性。

### 2 方法原理

逆时偏移的基本原理是利用地震波在地下介质中 的传播规律,通过波场正传、波场重构与波场反传计算 出准确的震源波场与检波点波场,然后对同一时刻的两 个波场值,利用互相关成像条件提取该时刻的成像值, 最后对所有时刻的成像值进行叠加,即可得到完整的成 像剖面[5]。

在二维各向同性声波介质中,一阶速度一应力方程

仰拱结构的快速、高效、全面且精细化检测,为无损检 测提供了新思路。

### 参考文献:

[1] 白国权. 隧道仰拱缺陷程度划分组合与处治措施探析 [J]. 公路, 2016, (10): 251-256.

[2] 杨勤勇, 胡光辉, 王立歆. 全波形反演研究现状及发 展趋势 []]. 石油物探, 2014, 53(1): 77-83.

[3] 杨午阳, 王西文, 雍学善, 等. 地震全波形反演方法研 究综述 [J]. 地球物理学进展, 2013, 28(2): 766-776.

[4] Tarantola A. Linearized inversion of seismic reflection data[J]. Geophysical Prospecting, 1984, 32(6): 998-1015.

[5] 何云川,黄金强,金宗玮.基于褶积目标泛函的弹性

波全波形反演 [C]. 中国石油学会 2021 年物探技术研讨会论文 集, 2021: 1296-1299.

[6] 刘宇航,黄建平,杨继东,等.弹性波全波形反演中 的四种优化方法对比 []]. 石油地球物理勘探, 2022, 57(1): 118-128.

[7] Fletcher R, Reeves C M. Function minimization by conjugate gradients[J]. The Computer Journal, 1964, 7(2): 149 -154.

[8]Bunks C, Saleck F M, Zaleski S, et al. Multiscale seismic waveform inversion[J]. Geophysics, 1995, 60(5): 1457-1473.

基金项目: 贵州省科技计划项目(黔科合基础 [2020]1Y174, 黔科合基础 -ZK[2022] 一般 060)